- Acute Stroke[J]. Magn Reson Med, 2002, 48(3): 478-486.
- [8] Nagesh V, Welch KMA, Windham JP, et al. Time Course of AD-Cw Changes in Ischemic Stroke; beyond the Human Eye [J]. Stroke, 1998, 29(9), 1778-1782.
- [9] Oppenheim C, Grandin C, Samson Y, et al. Is There an Apparent Diffusion Coefficient Threshold in Predicting Tissue Viability in Hyperacute Stroke[1], Stroke, 2001, 32(11), 2486-2491.
- [10] Dong Gyu Na, Thijs VN, Albers GW, et al. Diffusion-weighted MR Imaging in Acute Ischemia: Value of Apparent Diffusion Coefficient and Signal Intensity Thresholds in Predicting Tissue at Risk and Final Infarct Size[I]. AINR, 2004, 25(8):1331-1336.
- [11] Bilgili Y, Unal B. Effect of Region of Interest on Interoberver Variance in Apparent Diffusion Coefficient Measures[J]. AJNR, 2004.25(1):108-111.
- [12] 倪建明,刘军,沈天真,等. FLAIR-DWI 序列上 ROI 对脑组织 ADC 值测量的影响[J]. 中国医学计算机成像杂志,2005,11(3): 363-366
- [13] Bykowski JL, Latour LL, Warach S. More Accurate Identification of Reversible Ischemic Injury in Human Stroke by Cerebrospinal Fluid Suppressed Diffusion-weighted Imaging[J]. Stroke, 2004, 35 (5):1100-1106

(收稿日期:2006-11-13 修回日期:2007-01-26)

左膝关节腱鞘巨细胞瘤一例

• 病例报道 •

刘德斌,崔学锋,姜晓玲

【中图分类号】R814; R445.2; R738.5 【文献标识码】D 【文章编号】1000-0313(2007)10-1029-01

病例资料 患者,男,46岁。于3个月前左膝活动后感觉左膝外上部不适,触摸后发现一包块,触压后稍有移动,活动后外上部不适感逐渐加强,无明显压痛。查体:左膝外上侧稍隆起,局部皮温不高,无静脉曲张。可触及一5cm×2cm实性包块,质韧、边界较清,表面光滑,可被推动,不随关节运动。

影像学检查: X 线片示左膝关节骨质结构 无明显异常(图 1)。MRI 诊断髌骨外上方软组 织肿瘤,结节性黄色瘤可能性大(图 2)。

手术所见:切开左膝髌上囊,见一约3 cm×1 cm 的实性瘤体,瘤体由髌上囊左上极向囊内突起生长的菜花状实性组织,质韧,表面欠光滑,活动度可。瘤体基底部松软,髌上囊内可见少量滑液无血性渗出物;囊外组织界限清,无明显粘连。术后病理诊断:腱鞘巨细胞瘤(图 3)。

讨论 腱鞘巨细胞瘤是一种起源于腱鞘和关节滑膜的良性肿瘤。分为局限性和弥漫性(关节外色素性绒毛结节性滑膜炎)两种。临床本瘤好发于青壮年女性,多为无痛性小结节,位于膝、踝关节附近[1]。镜下瘤组织结构多样,主要由组织细胞样滑膜细胞、多核细胞和泡沫细胞组成^[2]。

此瘤应与滑膜肉瘤、结节性黄色瘤作鉴别诊断。

滑膜肉瘤是起源于滑膜、滑囊或腱鞘的高度恶性的纤维母细胞瘤。其影像学特征为软组织肿块增大迅速,瘤体易出血、坏死和钙化,故在 MRI 上具有特征性,瘤周骨质破坏严重但无硬化缘。

结节性黄色瘤:常多发,位于大关节周围。影像学表现同

作者单位:271000 山东,泰安市中国人民解放军第88 医院放射科作者简介;刘德斌(1974一),男,安徽肥西人,主治医师,主要从事骨关节影像诊断工作。

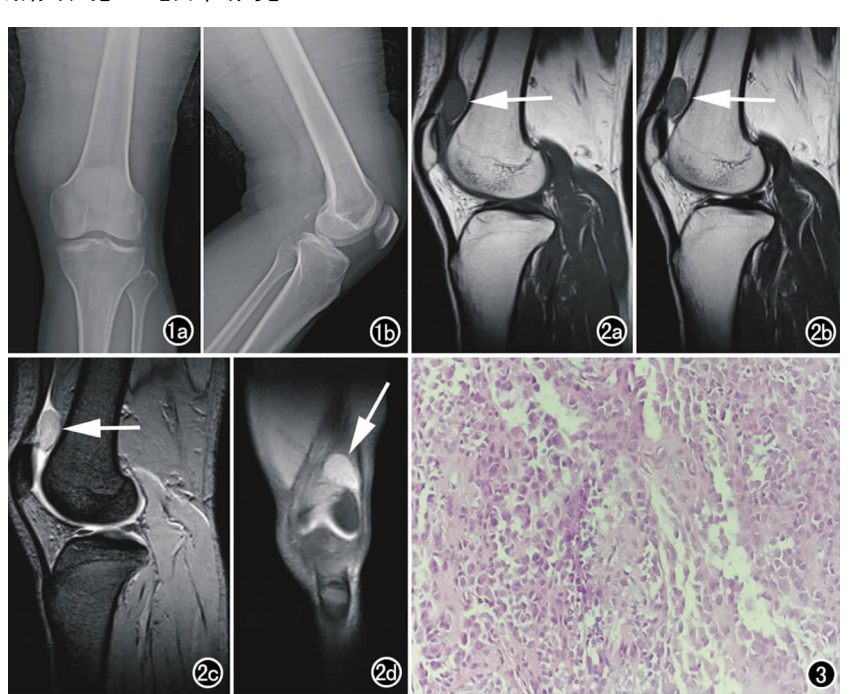


图 1 左膝关节正侧位片示膝关节骨质结构无明显异常。a)正位片;b)侧位片。 图 2 左膝关节矢状面示髌骨外上方软组织内有一约 $2.0 \text{cm} \times 1.2 \text{cm}$ 大小占位,其边界尚清。a) $T_1 \text{WI}$ 呈低信号;b) $T_2 \text{WI}$ 呈低信号;c) 梯度回波序列为稍高信号;d) 脂肪抑制序列为高信号。 图 3 瘤组织含圆形、多角形间质细胞、多核巨细胞和泡沫样组织细胞,间质细胞增生活跃,可见核分裂像($\times 100.\text{HE}$)。

腱鞘巨细胞瘤类似;镜下见巨细胞少,可有杜顿氏巨细胞。

参考文献:

- [1] 王云钊,兰宝森. 骨关节影像学[M]. 北京: 科学出版社,2002. 561-562
- [2] 徐贤,赵林芬.腱鞘巨细胞瘤影像表现[J].中国临床医学影像学杂志,2006,17(8):479-480.

(收稿日期:2006-08-28)